Кинетика низкотемпературного алюминотермического восстановления танталата железа

Р. И. Гуляева, А. М. Клюшников, С. А. Петрова, Л. Ю. Удоева

Изучена кинетика низкотемпературного (900 — 1180 °C) восстановления танталата железа (98,2 масс. % FeTa $_2$ O $_6$, 1,8 масс. % Ta $_2$ O $_5$, размер частиц < 0,1 мм) избытком алюминия (размер частиц < 0,14 мм) при мольном соотношении Al:FeTa $_2$ O $_6$, равном 6. По данным дифференциальной сканирующей калориметрии и рентгенофазового анализа процесс восстановления практически завершается при 1180 °C, металлическими продуктами являются TaFeAl, TaAl $_3$ и Ta $_{17}$ Al $_{12}$. По результатам термокинетических расчётов (методы Озавы — Флинна — Уолла и нелинейной регрессии) формальный механизм процесса представлен схемой Впа — CnC, включающей две последовательные стадии, контролируемые автокаталитически активированными реакциями. Кинетические параметры стадий: 1) E_1 = 429 кДж·моль $^{-1}$, A_1 = 10 $^{15.3}$ с $^{-1}$; 2) E_2 = 176 кДж·моль $^{-1}$, A_2 = 10 $^{3.9}$ с $^{-1}$ (E_j — энергия активации, A_j — предэкспоненциальный множитель). Прогнозирование в рамках модели Впа — CnC указывает на возможность получения реакционной смеси, содержащей \ge 98 мол. % формального конечного продукта восстановления, при изотермической выдержке в интервале температур 1040 — 1120 °C в течение 1,5 — 5 минут. Предложенную модель можно использовать для разработки научных основ и обоснования технологических режимов получения сплавов тантала из минерального и техногенного сырья.

Ключевые слова: танталат железа, восстановление, алюминотермия, термодинамика, кинетика.

DOI: 10.30791/1028-978X-2021-6-60-72

Введение

Одним из источников получения тантала являются концентраты, содержащие минералы группы тантало-ниобатов, которые представляют собой изоморфный ряд сложных оксидов с общей формулой (Fe,Mn)(Nb,Ta) $_2$ O $_6$ [1]. Получение тантала из таких концентратов возможно по схеме, включающей кислотное выщелачивание с переводом тантала и ниобия в раствор, жидкостную экстракцию тантала, алюминотермическое восстановление Та₂О₅ с легирующими добавками железа или марганца (в виде металлов или оксидов), нагрев в вакууме и электронно-лучевую плавку сплавов Ta – Al – Fe или Ta – Mn – Fe с получением чистого тантала [2]. Легирующие добавки и избыток алюминия при восстановлении Та₂О₅ необходимы для снижения температур плавления сплава и шлака

и их эффективного разделения в жидкой фазе [3]. Между тем, элементный состав тантало-ниобатов позволяет получать сплавы тантала методом прямого алюминотермического восстановления танталсодержащих концентратов.

Разработка научных основ подобной технологии требует знания особенностей взаимодействия алюминия с тантало-ниобатами широкого диапазона составов, в том числе обогащённого танталом и железом крайнего члена их изоморфного ряда с формулой FeTa₂O₆. Это соединение диморфно и может существовать в виде минералов ферротанталита и ферротапиолита, кристаллизующихся в ромбической и тетрагональной модификациях соответственно [4]. Сведений по термодинамике и кинетике его прямого алюминотермического восстановления в литературе не найдено. Результаты изучения взаимодействия алюминия с простыми

оксидами тантала, ниобия и хрома и пирохлоровыми концентратами [5-7], а также химизма восстановления синтетических танталата марганца и ниобата железа [8, 9] могут служить лишь начальной базой для понимания закономерностей алюминотермического восстановления танталата железа.

Высокая температура алюминотермических процессов обусловливает их интенсивную динамику. Однако существенное влияние на показатели восстановления в целом оказывают полнота и скорость взаимодействия жидкого алюминия с твёрдыми оксидами [6].

Цель настоящей работы — изучение кинетики низкотемпературного взаимодействия танталата железа с избытком алюминия.

Материалы и методы исследования

Образец танталата железа синтезировали методом твердофазного спекания смеси оксида железа (II) (99,2 масс. % FeO) и оксида тантала (V) $(99,9 \text{ масс. } \% \text{ } \beta\text{-}\text{Ta}_2\text{O}_5)$. Для получения оксида железа (II) навески порошкообразных (размер частиц < 0,1 мм) оксида железа (III) квалификации "ч" (99 масс. % Fe_2O_3) и карбонильного железа (99,96 масс. % Fe), взятых в стехиометрическом соотношении, перемешивали, брикетировали на гидравлическом прессе (100 МПа), помещали в кварцевую ампулу, которую затем вакуумировали до остаточного давления 10^{-4} атм и выдерживали в муфельной электрической печи в течение 360 ч при 700 °C. Полученный продукт охлаждали в печи и измельчали в агатовой ступке до крупности < 0,1 мм. Для синтеза оксида тантала (V) навеску металлургического танталового порошка сорта Б (99,5 масс. % Та, размер частиц < 0,1 мм) помещали в алундовую лодочку и в течение 4 ч выдерживали при 1100 °C в муфельной электрической печи при доступе воздуха. Полученный продукт охлаждали на воздухе, измельчали в агатовой ступке до крупности < 0,1 мм и подвергали повторному нагреву в аналогичных условиях. Навески оксидов железа (II) и тантала (V), взятых в стехиометрическом соотношении, перемешивали, брикетировали на гидравлическом прессе (100 МПа) и в алундовой лодочке выдерживали в течение 12 ч при температуре 1200 °C в трубчатой электрической печи, в рабочую камеру которой непрерывно подавали гелий (99,995 об. % He) с расходом 30 см 3 -мин $^{-1}$. Полученный продукт охлаждали в печи и измельчали в агатовой ступке до крупности < 0,1 мм. Температуру во всех случаях измеряли хромельалюмелевой термопарой с погрешностью ± 10 °C.

В качестве восстановителя использовали алюминиевый порошок марки ПА4 крупностью <0,14 мм, содержащий, в масс. %: Al — \ge 98, Fe — \le 0,35, Si — \le 0,40, Cu — \le 0,02, H₂O — \le 0,2.

Навески алюминия и танталата железа, взятых в мольном соотношении $Al: FeTa_2O_6$, равном 6, тщательно перемешивали и уплотняли в алундовом тигле. Элементный и фазовый состав смесей рассчитывали с помощью пакета прикладных программ HSC Chemistry 6.12 [10].

Эксперименты ПО алюминотермическому восстановлению танталата железа проводили на термоанализаторе NETZSCH STA 449 C Jupiter методом совмещённой термогравиметрии (ТГ) и дифференциальной сканирующей калориметрии (ДСК). Навески (25,2-30,2 мг) смесей помещали в алундовый тигель с крышкой, имеющей калиброванное отверстие, нагревали от 30 до 1180 °C и затем охлаждали от 1180 до 500 °C со скоростями 10, 15 и 20 °С·мин $^{-1}$ в потоке (50 см 3 ·мин $^{-1}$) аргона (99,995 об. % Аг). Материалом сравнения служил прокалённый алундовый тигель. Погрешность измерений для массы составляла ± 0.01 мг, для температуры — \pm 3 °C и для теплоты — \pm 5 %. Корректирующие параметры оценивали по энтальпии плавления химически чистого индия (99,99 масс. % In) с использованием программного обеспечения NETZSCH Thermokinetics 3.0 [11].

Образцы танталата железа и продуктов его восстановления исследовали методом рентгенофазового анализа (РФА) на приборе Bruker D8 ADVANCE. Данные регистрировали в диапазонах 5-130 и $5-90^{\circ}$ (20) соответственно для исходного танталата и продуктов его взаимодействия с алюминием с шагом 0,021° (20) и экспозицией в точке 493 с. Режим съёмки: Си K_{α} -излучение $(\lambda = 0,154051 \text{ нм})$, напряжение — 34 кВ, сила тока на трубке — 40 мА, позиционно-чувствительный детектор VÅNTEC-1, β-фильтр, геометрия Брэгга - Брентано. Для идентификации фаз использовали базу данных ICDD PDF-4 [12]. Кристаллическую структуру образцов оценивали с применением программного обеспечения DIFFRAC. EVA [13]. Параметры элементарных ячеек фаз рассчитывали методом наименьших квадратов с помощью программы Celref [14]. Количественный фазовый анализ и уточнение структурных параметров фаз осуществляли методом Ритвельда [15] с использованием программы TOPAS [16].

Термодинамическое моделирование алюминотермического восстановления танталата железа выполнено методом минимизации стандартной энергии Гиббса (ΔG_T) фаз в температурном интер-

Термодинамические свойства FeTa $_2\mathrm{O}_6,$ Ta $_2\mathrm{Al}$ и TaAl $_3$ в интервале температур от T_1 до T_2

Table 1

Thermodynamic properties of FeTa₂O₆, Ta₂Al and TaAl₃ in the temperature range from T_1 to T_2

Фаза	Энтальпия, $\Delta H_{f,298}$,	Энтропия, $\Delta S_{f,298}$,	Коэффициенты зависимости изобарной теплоёмкости				T_1-T_2
Фаза	кДж∙моль-1	Дж·моль $^{-1}$ · \mathring{K}^{-1}	A	В	C	D	К
FeTa ₂ O ₆	-2365,6	200,7	197,40	47,83	-31,80	-19,72	323 – 1203
Ta_2Al	-70,62	111,3	87,67	-22,54	-7,2	0	298 - 933
$TaAl_3$	-122,36	126,34	126,26	-62,97	-13,95	0	298 - 933

вале 500 — 3000 °С и при мольных соотношениях $A1:FeTa_2O_6$ от 1 до 6 ед. с использованием программного комплекса HSC Chemistry 6.12 [10]. Значения стандартной энтальпии ($\Delta H_{f,298}$, кДж·моль $^{-1}$) и энтропии ($\Delta S_{f,298}$, Дж·моль $^{-1}\cdot K^{-1}$) образования, а также коэффициенты зависимости изобарной теплоёмкости ($C_{p,T}=A+B\cdot 10^{-3}\cdot T+C\cdot 10^5\cdot T^{-2}+D\cdot 10^{-6}\cdot T^2$, Дж·моль $^{-1}\cdot K^{-1}$) от абсолютной температуры (T, K) для $FeTa_2O_6$, Ta_2A1 и $TaAl_3$, отсутствующие в базе данных программы, брали из литературных источников или рассчитывали по известным методикам [17 — 21] (табл. 1). В состав изучаемой системы были включены газообразный N_2 и ряд конденсированных соединений: Al_2O_3 , $FeTa_2O_6$, FeO, Fe_2O_3 , Fe_3O_4 , Ta_2O_5 , $FeAlO_4$, Al, Fe, Ta, Fe_2Ta , Ta_2A1 и $TaA1_3$.

Для оценки эффективной энергии активации, предэкспоненциального множителя, и числа формальных стадий реакции алюминотермического восстановления танталата железа данные ДСК для нагрева смеси реагентов при соотношении $Al:FeTa_2O_6$, равном 6, обрабатывали с использованием следующих кинетических уравнений [22 – 24]:

$$\frac{d\alpha}{dt} = k(T) f(\alpha) = A \exp\left(-\frac{E}{R(T_{in} + \beta t)}\right) f(\alpha), (1)$$

$$\alpha = \frac{\int_{T_{in}}^{T} \left(\frac{dH}{dT}\right) dT}{\int_{T_{in}}^{T_{f}} \left(\frac{dH}{dT}\right) dT},$$
(2)

где а — степень превращения исходного реагента в продукт; t — время, c; dH — бесконечно малое изменение энтальпии реакции, Дж τ^{-1} ; $d\alpha/dt$ — скорость превращения, c^{-1} ; k(T) — константа скорости реакции, c^{-1} ; T и T_f — абсолютные температуры образца в начальный, текущий и конечный моменты реакции соответственно, K; A — предэкспоненциальный множитель, c^{-1} ; E — эффективная энергия активации реакции, Дж моль c^{-1} ; R — уни-

версальная газовая постоянная, Дж·моль $^{-1}$ ·К $^{-1}$; $f(\alpha)$ — кинетическая модель реакции, β — скорость изменения температуры, К·с $^{-1}$, ($\beta = dT/dt$).

Модельнозависимый кинетический анализ (исходя из первоначальной гипотезы об одностадийном механизме процесса) проводили, оперируя выражением

$$\ln \beta_i = \text{const} -1,052 \frac{E_{\alpha}}{RT_{\alpha i}},\tag{3}$$

которое представляет собой преобразованное в рамках формализма Озавы – Флинна – Уолла [25 – 27] уравнение (1). Для серии температурных программ ($\beta_i = 10, 15 \text{ и } 20 \text{ °C·мин}^{-1}$) и ряда значений а проведена линейная аппроксимация зависимости $\ln \beta_i$ от $1/T_{\alpha,i}$, по наклону изоконверсионной линии оценена величина E_{α} , а по точке её пересечения с осью ординат — A_{α} (в предположении реакции первого порядка). Нижние индексы α и і указывают на то, что соответствующие величины взяты при фиксированных значениях а и β. По виду зависимости E_{α} от α определено число (j) элементарных стадий для многостадийного представления процесса. Кинетические параметры $(A_i \, \text{иr} \, E_i)$ стадий уточняли методом нелинейной регрессии путём подбора приемлемой стандартной реакционной модели $f_i(\alpha_i)$ [22]. Полученные данные использовали для представления кинетических уравнений элементарных стадий в виде аналитических выражений [23, 28]:

$$\frac{d\alpha_j}{dt} = A_j \exp\left(-\frac{E_j}{RT}\right) f_j\left(\alpha_j\right),\tag{4}$$

где α_j — степень превращения исходного реагента j-й стадии в её конечный продукт. Степень превращения (α_{Σ}) исходного формального реагента суммарной реакции в её формальные продукты находили по выражению [23]:

$$\alpha_{\Sigma} = \sum_{j} w_{j} \alpha_{j}, \tag{5}$$

Таблица 2

Характеристики фаз, выявленных в синтезированном образце танталата железа

Table 2

Characteristics of the phases detected in the synthetic iron tantalate sample

Форо	Пространственная	Параметры кристаллической ячейки				Содержание,	DDE [12]
Фаза	группа	a, Å	b, Å	c, Å	V, Å ³	масс. %	PDF [12]
FeTa ₂ O ₆	P4 ₂ /mnm	4,7565(1)	_	9,1992(1)	208,13(1)	98,2	04-007-9309
${\rm Ta_2O_5}$	Pmmm	6,193(2)	3,663(1)	3,890(1)	88,26(4)	1,8	04-013-9608

где w_j — вклад теплового эффекта j-й стадии в суммарный тепловой эффект реакции. Выбранную модель процесса применили для прогнозирования кинетики восстановления танталата железа в изотермическом режиме. Для расчётов использовали программное обеспечение NETZSCH Thermokinetics 3.0 [11].

Результаты и их обсуждение

На дифрактограмме синтезированного образца танталата железа (рис. 1) выявлены рефлексы ферротапиолита тетрагональной структуры (04–007–9309 [12]) и оксида тантала (V) орторомбической структуры (04–013–9608 [12]). Характеристики фаз представлены в табл. 2. Содержание в танталате железа примеси (Ta_2O_5) не превышает 1,8 масс. %.

Для выбора оптимального режима восстановления проведено термодинамическое моделирование процесса. Согласно полученным данным (рис. 2), в составе продуктов взаимодействия восстановленные тантал и железо могут находиться как в элементной форме, так и в виде интерметаллидов Fe₂Ta, Ta₂Al и TaAl₃. В области низких температур металлическая фаза преимущественно состоит из соединений тантала с железом и алюминием, но по мере повышения температуры она обогащается танталом. Анализируя зависимость изменения состава продуктов реакции от количества восстановителя, можно предположить следующую последовательность превращений танталсодержащих фаз в системе:

$$\begin{split} \operatorname{FeTa_2O_6} &\to \operatorname{Fe} + \operatorname{Ta_2O_5} \to \operatorname{Fe_2Ta} + \operatorname{Ta} \to \\ &\to \operatorname{Ta} + \operatorname{Fe_2Ta} + \operatorname{Ta_2Al} + \operatorname{TaAl_3}. \end{split} \tag{6}$$

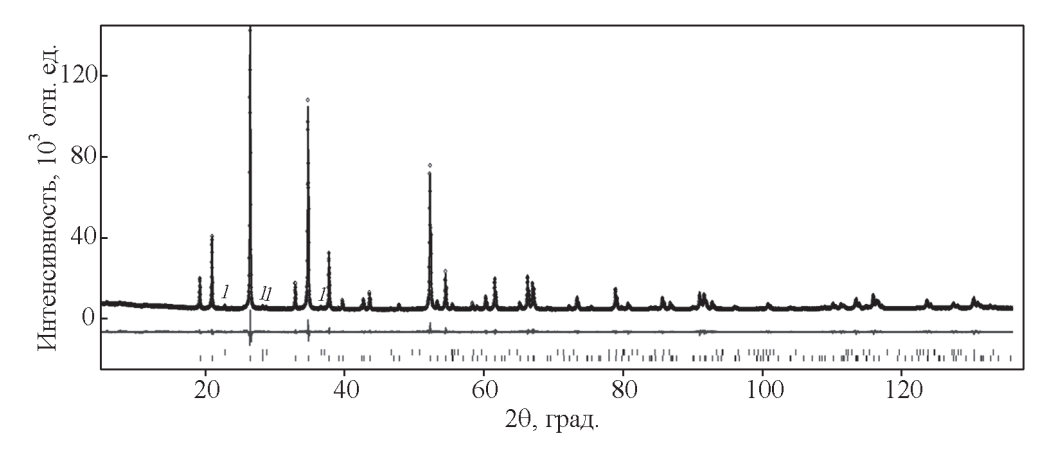
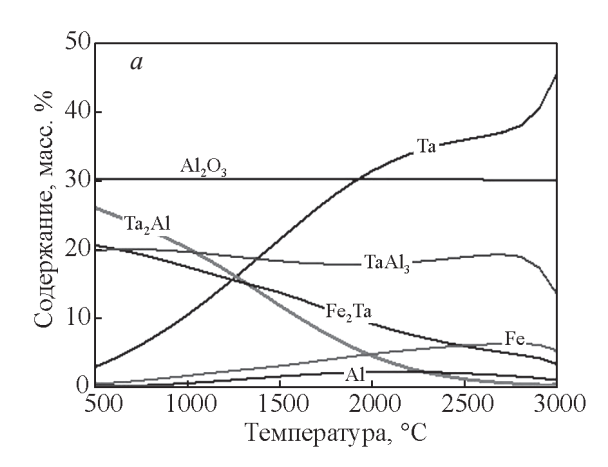


Рис. 1. Дифрактограмма синтезированного образца танталата железа с результатами полнопрофильного анализа (точки и линия на дифрактограмме — экспериментальная и расчетная кривые соответственно, горизонтальная линия ниже — разностная кривая, вертикальные штрихи — разрешённые брэгговские отражения для каждой фазы, I — линии ${\rm Ta_2O_5}$). Показатели достоверности расчёта: ожидаемый фактор $R_{exp}=2,17$, профильно-взвешенный фактор $R_{wp}=2,87$, профильный фактор $R_p=2,20$, качество приближения ${\rm GoF}=1,32$.

Fig. 1. XRD pattern of the synthetic iron tantalate sample with the results of full-profile analysis (points and lines on the XRD pattern are experimental and calculated curves, respectively, the horizontal line below is the difference curve, vertical strokes are Bragg reflections allowed for each phase, $I - Ta_2O_5$ lines). Reliability factors: expected factor $R_{exp} = 2.17$, profile-weighted factor $R_{wp} = 2.87$, profile factor $R_p = 2.20$, goodness of fit GoF = 1.32.



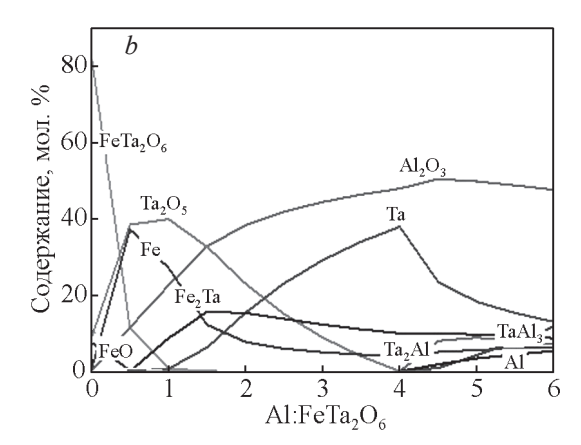


Рис. 2. Изменение равновесного состава реакционной смеси при алюминотермическом восстановлении $\operatorname{FeTa_2O_6}$ в зависимости: a — от температуры для мольного соотношении $\operatorname{Al:FeTa_2O_6} = 6$, b — от мольного соотношения $\operatorname{Al:FeTa_2O_6}$ при 1200 °C.

Fig. 2. Changes in th equilibrium composition of the reaction mixture during aluminothermic reduction of FeTa₂O₆ depending on: *a*—temperature for the molar ratio Al:FeTa₂O₆ = 6, *b*—the molar ratio Al:FeTa₂O₆ at 1200 °C.

Полного восстановления тантала и железа из оксидов при $1200\,^{\circ}\mathrm{C}$ можно ожидать при отношении $\mathrm{Al:FeTa_2O_6}$ не менее 4 и 1 соответственно. Учитывая возможность снижения температуры плавления металлических продуктов восстановления за счет образования интерметаллидных фаз, в экспериментах взят избыток восстановителя, соответствующий мольному соотношению $\mathrm{Al:FeTa_2O_6}$, равному 6. По данным $\mathrm{P\Phi A}$ рассчитан состав смеси танталата железа с алюминием, использованной в экспериментах (табл. 3).

При нагреве смеси танталата железа с алюминием от 30 до 1180 °C ($\beta=10$ °C·мин⁻¹) на кривой ДСК (рис. 3) отмечен ряд эффектов. Эндотермический пик с началом/максимумом при 647/661 °C отвечает плавлению алюминия [29]. Появление двух экзотермических пиков с температурами начала/максимума 891/899 и 987/1032 °C и теплотами 7 и 415 Дж·г⁻¹ можно связать с протеканием реакций восстановления оксида тантала и танталата железа соответственно. В связи с

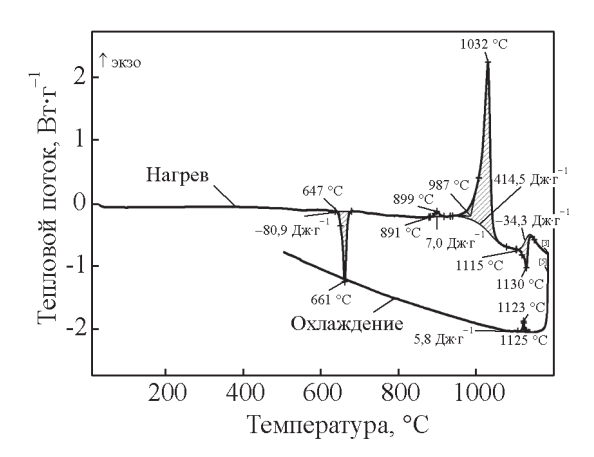


Рис. 3. Кривая ДСК нагрева от 30 до 1180 °С и охлаждения до 500 °С ($\beta = 10$ °С·мин $^{-1}$) в потоке аргона смеси танталата железа с алюминием.

Fig. 3. DSC curve of the mixture of iron tantalate and aluminum during heating from 30 to 1180 °C and cooling to 500 °C $(\beta = 10 \text{ °C} \cdot \text{min}^{-1})$ in the argon flow.

Таблица 3

Расчётный состав смеси алюминия с танталатом железа, использованной в экспериментах

Table 3

Calculated composition of the mixture of aluminum and iron tantalate used in the experiments

Элементный состав, масс. %						
Fe	Ta	Al	О	Прочие		
8,1	53,7	23,5	14,2	0,5		

Фазовый состав, масс. %					
$\mathrm{FeTa_2O_6}$	${\rm Ta_2O_5}$	Al	Прочие		
74,6	1,4	23,5	0,5		

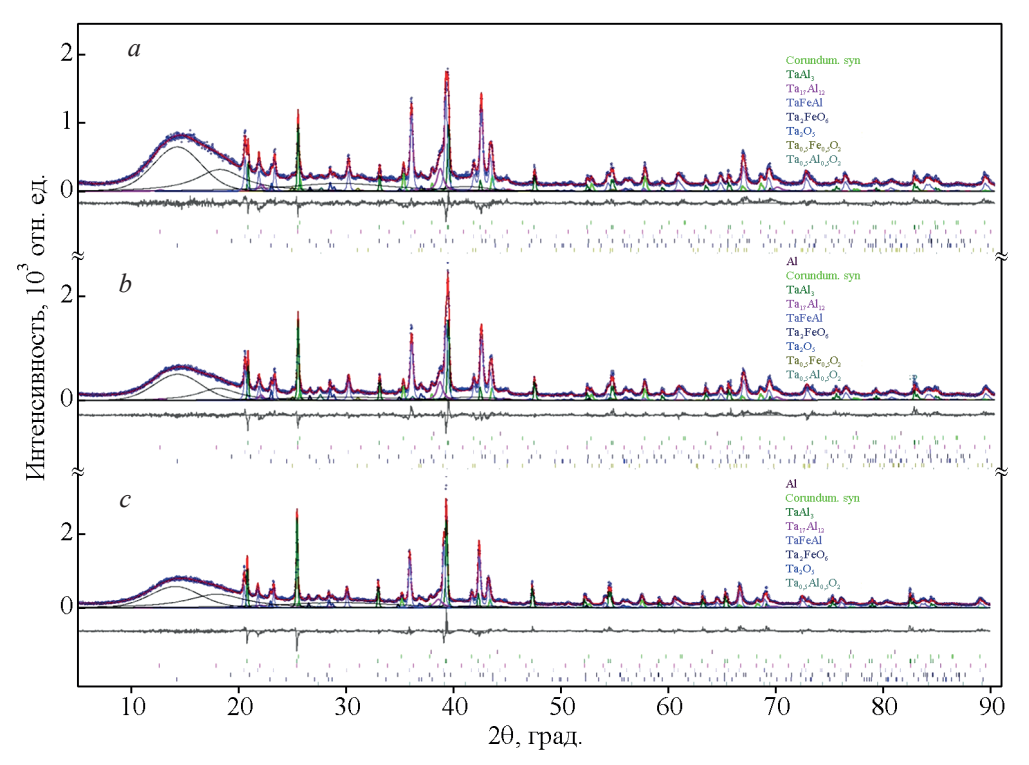


Рис. 4. Дифрактограммы продуктов нагрева от 30 до 1180 °C и охлаждения смеси танталата железа с алюминием в потоке аргона со скоростями, °C·мин⁻¹: $a - \beta = 10$, $b - \beta = 15$, $c - \beta = 20$.

Fig. 4. XRD patterns of products of heating from 30 to 1180 °C and cooling in the argon flow of the mixture of iron tantalate with aluminum at rates, °C·min⁻¹: $a - \beta = 10$, $b - \beta = 15$, $c - \beta = 20$.

этим для последующего кинетического анализа использовали данные ДСК в температурном интервале 900 – 1117 °C. Эндотермический пик с началом/максимумом при 1115/1130 °C указывает

на плавление одного из легкоплавких продуктов восстановления — эвтектики Fe-Al-Ta [29]. Кристаллизацией этой же эвтектики можно объяснить экзотермический эффект с температурами

Таблица 4

Состав и структурные характеристики фаз, выявленных в продуктах нагрева от 30 до 1180 °C и охлаждения (β = 10, 15 и 20 °C мин $^{-1}$) в потоке аргона смеси танталата железа с алюминием

Table 4

Composition and structural characteristics of the phases detected in the products of heating from 30 to 1180 °C and cooling ($\beta = 10, 15 \text{ and } 20 \text{ °C min}^{-1}$) in the argon flow of the mixture of iron tantalate with aluminum.

Фаза	Пространственная группа	Параметры кристаллической ячейки				Содержание,	DDE [12]
Фаза		a, Å	b, Å	c, Å	V, Å ³	масс. %	PDF [12]
Al	Fm-3m	4,095	_	_	68,69	0,0 - 0,4	04-012-7848
Al_2O_3	R-3 <i>c</i>	4,757	_	12,995	254,64	33,2 - 37,5	04-015-8608
TaAl ₃	I4/mmm	3,840	_	8,545	126,03	11,1-21,6	04-001-3363
$Ta_{17}Al_{12}$	I-43m	9,904	_	_	971,51	5,9 - 7,8	04-003-2132
TaFeAl	P63/mmc	4,998	_	8,156	176,42	31,9 - 37,3	04-005-0134
FeTa ₂ O ₆	$P4_2/mnm$	4,754		9,207	208,11	0,6-1,2	04-007-9309
Ta_2O_5	Pmmm	6,217	3,646	3,877	87,87	1,8-2,9	04-013-9608
$Al_{0,5}Ta_{0,5}O_2$	P42/mnm	4,591	_	2,970	62,61	1,5-3,1	04-002-2521
$\mathrm{Fe_{0,5}Ta_{0,5}O_2}$	Pbcn	4,634	5,621	4,904	127,74	2,1 – 2,2	04-005-8833

начала/максимума 1125/1123 °C, проявившийся на кривой ДСК при охлаждении реакционной смеси от 1180 до 500 °C. Характер изменения кривой при охлаждении указывает на отсутствие в продуктах восстановления непрореагировавшего алюминия. В ходе нагрева образца до 1180 °C изменение его массы составило 0,30 %, что обусловлено присутствием незначительного количества кислорода в использованном аргоне.

Результаты полнопрофильного анализа дифрактограмм продуктов нагрева от 30 до 1180 °C и охлаждения смеси танталата железа с алюминием (рис. 4, табл. 4) подтверждают выводы термодинамического моделирования о возможности практически полного восстановления металлов из танталата железа при низких температурах (около 1200 °C). Об этом свидетельствуют незначительные количества непрореагировавших исходных реагентов (масс. %: ≤ 0.4 Al; 0.6 - 1.2 FeTa₂O₆ и $1.8 - 2.9 \text{ Ta}_2\text{O}_5$) и промежуточных оксидов (масс. %: 1,5-3,1 A $l_{0.5}$ Ta $_{0.5}$ O $_2$ и 2,1-2,2 Fe $_{0.5}$ Ta $_{0.5}$ O $_2$). На долю металлических продуктов восстановления (TaFeAl, $TaAl_3$ и $Ta_{17}Al_{12}$) приходится 60,0-66,7 масс. %. Следует отметить некоторое изменение состава продуктов в зависимости от скорости нагрева (рис. 5). Так, с её снижением возрастают содержания TaFeAl, $Ta_{17}Al_{12}$ и Al_2O_3 , тогда как доля $TaAl_3$ при этом сокращается. Это указывает на приоритетное образование ТаАl₃, из которого при более медленном (то есть более продолжительном) на-

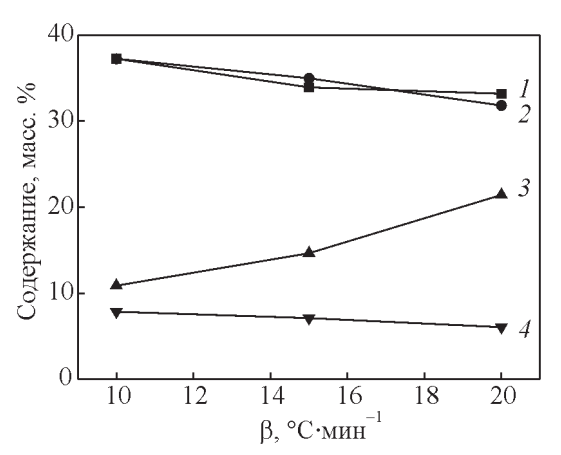


Рис. 5. Изменение содержания фаз в продуктах низкотемпературного алюминотермического восстановления танталата железа в зависимости от скорости нагрева: I — Al_2O_3 , 2 — TaFeAl, 3 — $TaAl_3$, 4 — $Ta_{17}Al_{12}$.

Fig. 5. Changes in composition of the products of low-temperature aluminothermic reduction of iron tantalate depending on heating rate: l — Al_2O_3 , 2 — TaFeAl, 3 — $TaAl_3$, 4 — $Ta_{17}Al_{12}$.

греве дополнительно образуются интерметаллиды TaFeAl и ${\rm Ta}_{17}{\rm Al}_{12}.$

На основании полученных данных предположен следующий химизм процесса:

$$FeTa_2O_6 + 6Al = Fe + 2TaAl_3 + 2Al_2O_3,$$
 (7)

$$FeTa_2O_6 + 14/3Al = 1,5Ta + 0,5Fe +$$

$$+Fe_{0.5}Ta_{0.5}O_2 + 4/3Al_2O_3,$$
 (8)

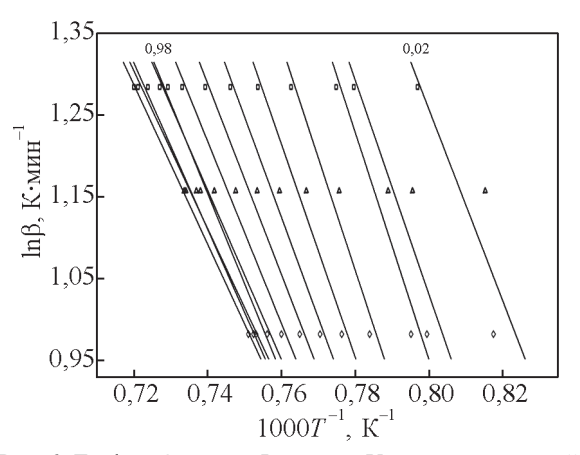


Рис. 6. График Озавы — Флинна — Уолла, построенный по данным ДСК нагрева (900 — 1117 °C, β = 10, 15, 20 °C·мин $^{-1}$) в потоке аргона смеси танталата железа с алюминием.

Fig. 6. Ozawa – Flynn – Wall plot based on DSC data for heating (900 – 1117 °C, β = 10, 15, 20 °C·min⁻¹) in the argon flow of the mixture of iron tantalate and aluminum.

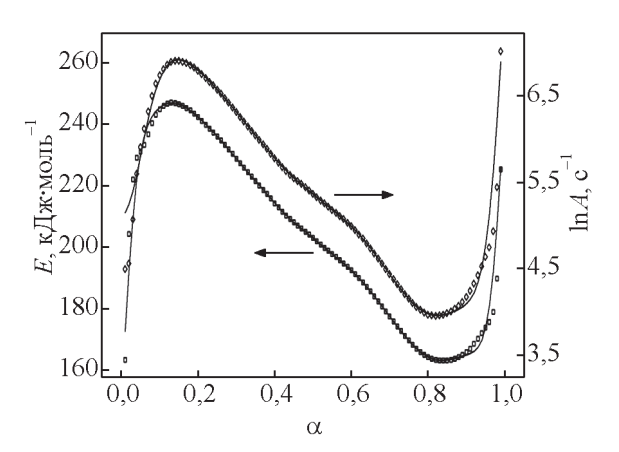


Рис. 7. Изменение кинетических параметров низкотемпературного алюминотермического восстановления танталата железа в зависимости от степени превращения (по результатам анализа Озавы — Флинна — Уолла).

Fig. 7. Changes in the kinetic parameters of low-temperature aluminothermic reduction of iron tantalate depending on the conversion degree (by Ozawa – Flynn – Wall analysis).

Таблица 5

Кинетические параметры низкотемпературного алюминотермического восстановления танталата железа, рассчитанные по методу Озавы – Флинна – Уолла

Table 5

Kinetic parameters of low-temperature aluminothermic reduction of iron tantalate calculated by the Ozawa – Flynn – Wall method

Степень превращения исходного реагента в продукт, α	Эффективная энергия активации реакции, E , кДж \cdot моль $^{-1}$	Предэкспоненциальный множитель, $\lg A, \mathrm{c}^{-1}$	
0,02	204 ± 116	4,56	
0,05	231 ± 106	5,90	
0,10	245 ± 80	6,74	
0,20	243 ± 55	6,78	
0,30	229 ± 42	6,31	
0,40	214 ± 33	5,77	
0,50	203 ± 30	5,36	
0,60	192 ± 27	4,99	
0,70	178 ± 19	4,44	
0,80	164 ± 16	3,97	
0,90	166 ± 4	4,17	
0,95	174 ± 13	4,63	
0,98	190 ± 20	5,44	

(9)

(14)

$$\begin{aligned} &\text{Fe}_{0,5}\text{Ta}_{0,5}\text{O}_2 + 4/3\text{Al} = 0,5\text{Fe} + 0,5\text{Ta} + \\ &+ 2/3\text{Al}_2\text{O}_3, & (10) \\ &17\text{Fe}\text{Ta}_2\text{O}_6 + 97\text{Al} = \text{Ta}_{17}\text{Al}_{12} + 17\text{Fe}\text{Ta}\text{Al} + \\ &+ 34\text{Al}_2\text{O}_3, & (11) \\ &\text{Ta}\text{Al}_3 + 3\text{Fe} + 2\text{Ta} = 3\text{Fe}\text{Ta}\text{Al}, & (12) \\ &\text{Ta}_2\text{O}_5 + \text{Al}_2\text{O}_3 = 4\text{Al}_{0,5}\text{Ta}_{0,5}\text{O}_2, & (13) \\ &7,727\text{Ta}\text{Al}_3 + 4,636\text{Ta}_2\text{O}_5 + 4,273\text{Al} = \end{aligned}$$

 $FeTa_2O_6 + 2/3Al = Fe + Ta_2O_5 + 1/3Al_2O_3$

 $= Ta_{17}Al_{12} + 7,727Al_2O_3$.

Результаты оценки кинетических параметров алюминотермического восстановления танталата железа в интервале температур 900 – 1117 °С, выполненной методом Озавы — Флинна — Уолла (рис. 6 и 7), указывают на две контролирующие стадии процесса. Кинетические параметры стадий изменяются в следующих пределах (табл. 5): для первой $\alpha = 0.02 - 0.4$, E = 204 - 245 кДж·моль $^{-1}$, $\lg A = 4.56 - 6.78$ с $^{-1}$, для второй $\alpha = 0.4 - 0.98$, E = 164 - 214 кДж·моль $^{-1}$, $\lg A = 3.97 - 5.77$ с $^{-1}$.

Результаты нелинейного регрессионного анализа экспериментальных данных (рис. 8 и табл. 6) свидетельствуют о том, что кинетику низкотемпературного этапа восстановления можно с высоким уровнем достоверности и адекватности описать последовательностью двух контролирующих стадий:

$$\begin{array}{ccc}
 & k_1 & k_2 \\
A \to B \to C.
\end{array} \tag{15}$$

Первая стадия контролируется автокаталитической реакцией, описываемой расширенным уравнением Праута — Томпкинса (Bna) [11], и характеризуется следующими параметрами:

$$E_1 = 429 \text{ кДж·моль}^{-1}, A_1 = 10^{15,3} \text{ c}^{-1},$$
 $f_1(\alpha_1) = (1 - \alpha_1)^{0,73} \alpha_1^{-0,24}, w_1 = 0,33.$

Вторая стадия контролируется автокаталитической реакцией n-го порядка (CnC) [11], её кинетические параметры имеют следующие значения:

$$E_2=176~\mathrm{кДж\cdot моль^{-1}}, A_2=10^{3.9}~\mathrm{c^{-1}},$$
 $f_2(\alpha_2)=(1-\alpha_2)^{0.63}(1+29.51\alpha_2),$ $w_2=0.67,$ а катализатором являются образовавшиеся продукты

В аналитической форме уравнения, описывающие в двухстадийном (Bna \rightarrow CnC) приближении кинетику алюминотермического восстановления танталата железа (Al:FeTa₂O₆ = 6) при 900 – 1117 °C, можно представить следующим образом:

 $\frac{d\alpha_1}{dt} = 10^{15,3} \left(1 - \alpha_1\right)^{0,73} \alpha_1^{0,24} \times$

$$\times \exp\left(-\frac{429000}{RT}\right), \quad (16)$$

$$\frac{d\alpha_2}{dt} = 10^{3.9} (1 - \alpha_2)^{0.63} (1 + 29.51\alpha_2) \times$$

$$\times \exp\left(-\frac{176000}{RT}\right), \quad (17)$$

$$\alpha_{\Sigma} = 0.33 \alpha_1 + 0.67 \alpha_2. \quad (18)$$

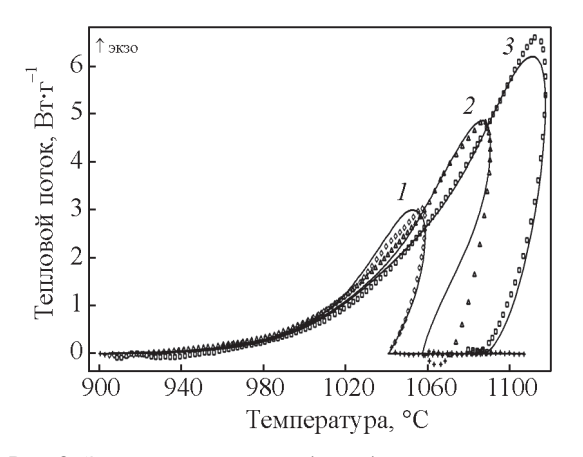


Рис. 8. Экспериментальные (точки) и аппроксимирующие их расчётные (линии) кривые ДСК нагрева в потоке аргона смеси танталата железа с алюминием со скоростью β , °C·мин⁻¹: I — 10, 2 — 15, 3 — 20.

Fig. 8. Experimental (points) and approximating calculated (lines) DSC curves of the iron tantalate mixture with aluminum in the argon flow β , $C \cdot min^{-1}$: I = 10, I = 10, I = 10, I = 10.

Результаты прогнозирования изотермической кинетики восстановления танталата железа в рамках модели Bna \rightarrow CnC (рис. 9) указывают на интенсивный характер взаимодействий. Получение реакционной смеси, содержащей \geq 98 мол. % формального конечного продукта восстановления, воз-

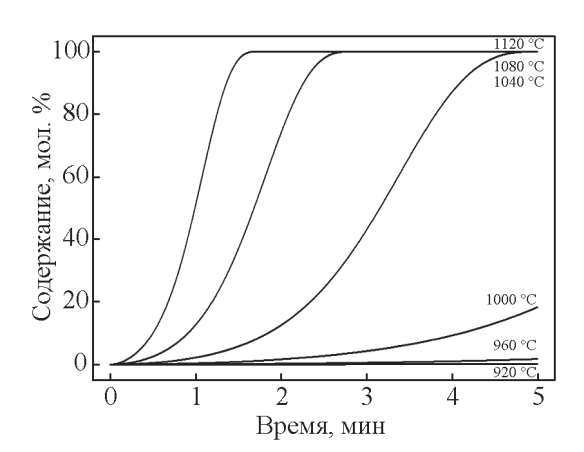


Рис. 9. Прогнозируемое влияние температуры и продолжительности изотермической выдержки на содержание формального конечного продукта низкотемпературного алюминотермического восстановления танталата железа в реакционной смеси для двухстадийной (Bna \rightarrow CnC) модели процесса.

Fig. 9. Predicted effect of temperature and time of isothermal exposure on the content in the reaction mixture of the formal final product of low-temperature aluminothermic reduction of iron tantalate for Bna → CnC model.

можно при изотермической выдержке в интервале температур 1040 - 1120 °C в течение 1,5-5 мин.

Процесс алюминотермического восстановления танталата железа сопровождается активным

Таблица 6

Кинетические параметры низкотемпературного алюминотермического восстановления танталата железа, рассчитанные для двухстадийной (Bna ightarrow CnC) модели процесса

Table 6

 $Kinetic \ parameters \ of \ low-temperature \ aluminothermic \ reduction \ of \ iron \ tantalate \ calculated \ for \ Bna \rightarrow CnC \ model$

П	Формальные стадии процесса					
Параметр	Первая стадия	Вторая стадия				
Реакционная модель	Расширенное уравнение Праута – Томпкинса (Bna)	Реакция <i>n</i> -го порядка с автокатализом (CnC)				
$f_j(\alpha_j)$	$(1-\alpha_1)^n \alpha_1^m$	$(1-\alpha_2)^n (1+K_{cat} \alpha_2)$				
E_i , кДж моль $^{-1}$	429 ± 21	176 ± 4				
E_j , к $ ilde{f Д}$ ж моль $^{-1}$ ${ m lg} A_j$, ${ m c}^{-1}$	$15,3 \pm 0,8$	$3,9 \pm 0,2$				
$\lg K_{cat}$	_	$1,\!47 \pm 0,\!09$				
n_i	$0,73 \pm 0,06$	$0,63 \pm 0,03$				
m_{i}	$0,\!24 \pm 0,\!06$	_				
$w_{j}^{'}$	0,33	0,67				

Примечание. Статистические характеристики расчёта: $r=0.994,\ d=0.023,\ F_{exp}=1,\ F_{crit}(0.95)=1.12,\ t_{crit}(0.95)=1.954$ (r— коэффициент корреляции, d— критерий Дурбина — Ватсона, F_{exp} и $F_{crit}(0.95)$ — соответственно экспериментальное и критическое значения критерия Фишера при доверительной вероятности 95 %, $t_{crit}(0.95)$ — критическое значение критерия Стьюдента при доверительной вероятности 95 %.

выделением тепла, и после локального инициирования реакция взаимодействия жидкого алюминия с твёрдым оксидом распространяется по всей системе. Температура плавления FeTa2O6 составляет 1614 °C [17], промежуточные оксиды систем $FeO - Ta_2O_5$ и $Al_2O_3 - Ta_2O_5$ в условиях эксперимента также остаются в твёрдом состоянии [30, 31]. Механизм протекания реакций с участием жидкой и твёрдых фаз имеет сложный характер и включает в себя процессы реакционной диффузии. Поскольку исходные частицы реагентов достаточно дисперсны, образующиеся твердые продукты, такие как $Fe_{0.5}Ta_{0.5}O_2$, $Al_{0.5}Ta_{0.5}O_2$ и Al_2O_3 , по-видимому, не препятствуют диффузии жидкого алюминия к реакционной поверхности. В связи с этим процесс контролируется автокаталитически активированными реакциями, при этом катализаторами являются один или несколько металлических продуктов.

Несмотря на то, что предложенная модель алюминотермического восстановления танталата железа рассчитана для определенных реагентного режима (Al:FeTa $_2$ O $_6$ = 6) и крупности компонентов (< 0,14 мм), она отражает принципиальные кинетические закономерности и макромеханизм процесса, что может быть полезно для разработки и обоснования технологических режимов получения сплавов из танталсодержащего сырья.

Выводы

Восстановление танталата железа (масс. %: 98,2 $\operatorname{FeTa_2O_6}$, 1,8 $\operatorname{Ta_2O_5}$; размер частиц < 0,1 мм) избытком алюминия (размер частиц < 0,14 мм) при мольном соотношении Al к $\operatorname{FeTa_2O_6}$, равном 6, практически завершается до 1180 °C. Металлическими продуктами взаимодействия являются TaFeAl , $\operatorname{TaAl_3}$ и $\operatorname{Ta_{17}Al_{12}}$. Возможно образование небольшого количества промежуточных оксидов $\operatorname{Al_{0,5}Ta_{0,5}O_2}$ и $\operatorname{Fe_{0,5}Ta_{0,5}O_2}$.

Формальный механизм процесса можно представить схемой, включающей две последовательные лимитирующие стадии. Первая стадия контролируется автокаталитической реакцией, описываемой расширенным уравнением Праута — Томпкинса (Впа), и характеризуется следующими параметрами: $E_1 = 429 \text{ кДж·моль}^{-1}, A_1 = 10^{15,3} \text{ c}^{-1}, f_1(\alpha_1) = (1-\alpha_1)^{0,73} \alpha_1^{0,24}, w_1 = 0,33$. Вторая стадия контролируется реакцией n-го порядка с автокатализом (CnC): $E_2 = 176 \text{ кДж·моль}^{-1}, A_2 = 10^{3,9} \text{ c}^{-1}, f_2(\alpha_2) = (1-\alpha_2)^{0,63}(1+29,51\alpha_2), w_2 = 0,67,$ а катализаторами являются образующиеся металлические продукты. Получение реакционной смеси, содер-

жащей \geq 98 мол. % формального конечного продукта восстановления, возможно при изотермической выдержке в интервале температур 1040-1120 °C в течение 1,5-5 минут.

Предложенную модель можно использовать для разработки научных основ и обоснования технологических режимов получения сплавов тантала из минерального и техногенного сырья.

Работа выполнена при поддержке гранта РФФИ № 18-29-24051_мк с использованием оборудования ЦКП "Урал—М".

Литература

- Mackay D.A.R., Simandl G.J. Geology, market and supply chain of niobium and tantalum — a review. Mineralium Deposita, 2014, v. 49, no. 8, pp. 1025 – 1047.
- 2. Зеликман А.Н., Коршунов Б.Г., Елютин А.В., Захаров А.М. Ниобий и тантал, М.: Металлургия, 1990, 296 с.
- Wilhelm H.A., Bergman R.M., Schmidt F.A. Tantalum metal by bomb reduction of Ta₂O₅. JOM, 1970, v. 22, no. 1, pp. 45 – 49.
- 4. Wise M.A., Cerny P. The crystal chemistry of the tapiolite series. Canadian Mineralogist, 1996, v. 34, no. 3, pp. 631 647.
- 5. Лякишев Н.П., Плинер Ю.Л., Игнатенко Г.Ф., Лаппо С.И. Алюминотермия. М.: Металлургия, 1978, 424 с.
- Muntera R., Parshin A., Yamshchikov L., Plotnikov V., Gorkunov V., Kobere V. Reduction of tantalum pentoxide with aluminium and calcium: thermodynamic modelling and scale skilled tests. Proceedings of the Estonian Academy of Sciences, 2010, v. 59, no. 3, pp. 243 – 252.
- 7. Mostaan H., Karimzadeh F., Abbasi M.H. Non-isothermal kinetic studies on the formation of Al_2O_3/Nb composite. Thermochimica Acta, 2010, v. 511, pp. 32-36.
- Мансурова А.Н., Чумарёв В.М., Леонтьев Л.И., Гуляева Р.И., Сельменских Н.И. Фазовые превращения при взаимодействии Ta₂O₅ и MnTa₂O₆ с алюминием. Приволжский научный вестник, 2013, № 12(28), ч. 1, с. 8 – 14.
- 9. Мансурова А.Н., Чумарев В.М., Леонтьев Л.И., Гуляева Р.И., Сельменских Н.И. Фазовые превращения при взаимодействии Nb_2O_5 и $FeNb_2O_6$ с алюминием. Металлы, 2012, № 6, с. 15 21.
- 10. Roine A. HSC Chemistry 6.12. Outotec, Pori, 2006, https://www.outotec.com/HSC.
- 11. Opffermann J. NETZSCH Thermokinetics, version 2006.08, https://www.therm-soft.com.
- 12. Powder Diffraction File PDF4+ ICDD, 2019.
- 13. DIFFRAC. EVA V5 Bruker AXS 2010-2018.
- 14. Laugier J., Bochu B. Checkcell, LMGP-Suite of programs for the interpretation of X-ray experiments.

- ENSP Laboratoire des Matériaux et du Génie Physique, BP 46, 38042 Saint Martin d'Heres, France, 2004, https://www.ccp14.ac.in/tutorial/lmgp/.
- 15. Rietveld H.M. Line profiles of neutron powder-diffraction peaks for structure refinement. Acta Crystallografica, 1967, no. 22, pp. 151 152.
- DIFFRAC^{Plus}: TOPAS Bruker AXS GmbH, Ostliche. Rheinbruckenstraße 50, D-76187, Karlsruhe, Germany, 2008
- 17. Гуляева Р.И., Петрова С.А., Чумарёв В.М., Мансурова А.Н. Высокотемпературная теплоём-кость и термическое расширение $\operatorname{FeTa}_2\operatorname{O}_6$. Физика твёрдого тела, 2019, т. 61, вып. 10, с. 1985 1992.
- 18. Мансурова А.Н., Чумарев В.М., Гуляева Р.И. Термодинамические свойства FeNb_2O_6 и FeTa_2O_6 . Неорганические материалы, 2018, т. 54, № 7, с. 739 744.
- 19. Забейворота Н.С., Лыкасов А.А., Михайлов Г.Г. Свободная энергия реакции образования $FeTa_2O_6$ при 1470-1750 К. Известия АН СССР. Неорганические материалы, 1981, т. 17, № 9, с. 1725-1726.
- Garg S.P., Krishnamurthy N., Awasthi A., Venkatraman M. The O–Ta (Oxygen–Tantalum) system. Journal of Phase Equilibria, 1996, v. 17, no. 1, pp. 63 – 77.
- 21. Kubaschewski O., Alcock C.B. Metallurgical Thermochemistr. Oxford–New York–Toronto–Sydney– Paris–Frankfurt, Pergamon Press, 1979, 363 p.
- 22. Vyazovkin S., Burnham A.K., Criado J.M., Perez-Maqueda L.A., Popescu C., Sbirrazzuoli N. ICTAC kinetics committee recommendations for performing kinetic computations on thermal analysis data, Thermochimica Acta, 2011, v. 520, pp. 1 19.
- 23. Vyazovkin S., Burnham A.K., Favergeon L., Koga N., Moukhina E., Perez-Maqueda L.A., Sbirrazzuoli N. ICTAC kinetics committee recommendations for analysis of multi-step kinetics, Thermochimica Acta, 2020, v. 689, atr. no. 178597, pp. 1 22.
- 24. Arshad M.A., Maaroufi A.K. Recent advances in kinetics and mechanisms of condensed phase processes: a mini-review, Reviews on advanced materials science, 2017, no. 51, pp. 177 187.
- Ozawa T. A new method of analyzing thermogravimetric data. Bulletin of the Chemical Society of Japan, 1965, v. 38, no. 11, pp. 1881 – 1886.
- 26. Ozawa T. Kinetic analysis of derivative curves in thermal analysis. Journal of Thermal Analysis and Calorimetry, 1970, v. 2, no. 3, pp. 301 324.
- 27. Flynn J.H., Wall L.A. General treatment of the thermogravimetry of polymers, Journal of research of the National Bureau of Standards, 1966, no. 70A, pp. 487 523.
- Moukhina E. Determination of kinetic mechanisms for reactions measured with thermoanalytical instruments, Journal of Thermal Analysis and Calorimetry, 2012, no. 109, pp. 1203 – 1214.
- Witusiewicz V.T., Bondar A.A., Hecht U., Voblikov V.M., Tsyganenko N.I., Fomichov O.S., Karpets M.V., Petyukh V.M., Velikanova T.Y. Experimental study and thermodynamic modelling of the ternary Al–Fe– Ta system, Journal of Materials Science, 2013, no. 48, pp. 377 – 412.

- 30. Kitayama K. Experimental Study of Equilibria of the ${\rm Ta_2O_5-Fe-Fe_2O_3}$ system at 1200 °C. Journal of Solid State Chemistry, 1986, no. 64, pp. 162 168.
- 31. Lee M., Koch E.F., Hale T.E. A study of the coatingsubstrate interface layer of an Al₂O₃-coated cemented carbide cutting tool. International Journal of Refractory Metals and Hard Materials, 1996, no. 14, pp. 335 – 343.

References

- Mackay D.A.R., Simandl G.J. Geology, market and supply chain of niobium and tantalum — a review. Mineralium Deposita, 2014, vol. 49, no. 8, pp. 1025 – 1047.
- Zelikman A.N., Korshunov B.G., Elyutin A.V., Zakharov A.M. *Niobij i tantal* [Niobium and tantalum]. Moscow, Metallurgiya Publ., 1990, 296 p.
- Wilhelm H.A., Bergman R.M., Schmidt F.A. Tantalum metal by bomb reduction of Ta₂O₅. JOM, 1970, vol. 22, no. 1, pp. 45 – 49.
- 4. Wise M.A., Cerny P. The crystal chemistry of the tapiolite series. Canadian Mineralogist, 1996, vol. 34, no. 3, pp. 631 647.
- Lyakishev N.P., Pliner Yu.L., Ignatenko G.F., Lappo S.I. *Alyuminotermiya* [Aluminothermy]. Moscow, Metallurgiya Publ., 1978, 424 p.
- Muntera R., Parshin A., Yamshchikov L., Plotnikov V., Gorkunov V., Kobere V. Reduction of tantalum pentoxide with aluminium and calcium: thermodynamic modelling and scale skilled tests. Proceedings of the Estonian Academy of Sciences, 2010, vol. 59, no. 3, pp. 243 – 252.
- Mostaan H., Karimzadeh F., Abbasi M.H. Nonisothermal kinetic studies on the formation of Al₂O₃/ Nb composite. Thermochimica Acta, 2010, vol. 511, pp. 32 – 36.
- Mansurova A.N., Chumarev V.M., Leont'ev L.I., Gulyaeva R.I., Sel'menskih N.I. Fazovye prevrashcheniya pri vzaimodejstvii Ta₂O₅ i MnTa₂O₆ s alyuminiem [Phase transformations in the interaction of Ta₂O₅ and MnTa₂O₆ with aluminum]. *Privolzhsky nauchnyj vestnik*
 Privolzhsky scientific bulletin, 2013, no. 12(28), part 1, pp. 8 14.
- Mansurova A.N., Chumarev V.M., Leont'ev L.I., Gulyaeva R.I., Sel'menskikh. N.I. Phase transformations during the interaction of Nb₂O₅ and FeNb₂O₆ with aluminum. Russian Metallurgy (Metally), 2012, no. 11, pp. 929 – 934.
- 10. Roine A. HSC Chemistry 6.12. Outotec, Pori, 2006, https://www.outotec.com/HSC.
- 11. Opffermann J. NETZSCH Thermokinetics, version 2006.08, https://www.therm-soft.com.
- 12. Powder Diffraction File PDF4+ ICDD, 2019.
- 13. DIFFRAC. EVA V5 Bruker AXS 2010-2018.
- Laugier J., Bochu B. Checkcell. LMGP-Suite of programs for the interpretation of X-ray experiments. ENSP Laboratoire des Matériaux et du Génie Physique, BP 46, 38042 Saint Martin d'Heres, France, 2004, https://www.ccp14.ac.in/tutorial/lmgp/.

- 15. Rietveld H.M. Line profiles of neutron powder-diffraction peaks for structure refinement. Acta Crystallografica, 1967, no. 22, pp. 151 152.
- DIFFRAC^{Plus}: TOPAS Bruker AXS GmbH, Ostliche. Rheinbruckenstraße 50, D-76187, Karlsruhe, Germany, 2008.
- 17. Gulyaeva R.I., Petrova S.A., Chumarev V.M., Mansurova A.N. High-temperature heat capacity and thermal extension of FeTa₂O₆. Physics of the Solid State, 2019, vol. 61, no. 10, pp. 1947 1954.
- Mansurova A.N., Chumarev V.M., Gulyaeva R.I. Thermodynamic properties of FeNb₂O₆ and FeTa₂O₆, Inorganic Materials, 2018, no. 54, pp. 700 – 705.
- Zabejvorota N.S., Lykasov A.A., Mikhajlov G.G. Svobodnaya energiya reakcii obrazovaniya FeTa₂O₆ pri 1470 1750 K [Free energy of the FeTa₂O₆ formation reaction at 1470 1750 K]. Izvestiya AN SSSR. Neorganicheskie materialy News of Academy of Sciences of the USSR, Inorganic materials, 1981, vol. 17, no. 9, pp. 1725 1726.
- Garg S.P., Krishnamurthy N., Awasthi A., Venkatraman M. The O–Ta (oxygen–tantalum) system. Journal of Phase Equilibria, 1996, vol. 17, no. 1, pp. 63 – 77.
- 21. Kubaschewski O., Alcock C.B. Metallurgical thermochemistry. Oxford–New York–Toronto–Sydney–Paris–Frankfurt, Pergamon Press, 1979, 363 p.
- Vyazovkin S., Burnham A.K., Criado J.M., Perez-Maqueda L.A., Popescu C., Sbirrazzuoli N. ICTAC kinetics committee recommendations for performing kinetic computations on thermal analysis data, Thermochimica Acta, 2011, vol. 520, pp. 1 19.
- Vyazovkin S., Burnham A.K., Favergeon L., Koga N., Moukhina E., Perez-Maqueda L.A., Sbirrazzuoli N.

- ICTAC kinetics committee recommendations for analysis of multi-step kinetics, Thermochimica Acta, 2020, vol. 689, 178597, pp. 1 22.
- 24. Arshad M.A., Maaroufi A.K. Recent advances in kinetics and mechanisms of condensed phase processes: a mini-review, Reviews on advanced materials science, 2017, no. 51, pp. 177 187.
- 25. Ozawa T. A new method of analyzing thermogravimetric data. Bulletin of the Chemical Society of Japan, 1965, vol. 38, no. 11, pp. 1881 1886.
- 26. Ozawa T. Kinetic analysis of derivative curves in thermal analysis. Journal of Thermal Analysis and Calorimetry, 1970, vol. 2, no. 3, pp. 301 324.
- 27. Flynn J.H., Wall L.A. General treatment of the thermogravimetry of polymers. Journal of research of the National Bureau of Standards, 1966, no. 70A, pp. 487 523.
- 28. Moukhina E. Determination of kinetic mechanisms for reactions measured with thermoanalytical instruments. Journal of Thermal Analysis and Calorimetry, 2012, no. 109, pp. 1203 1214.
- 29. Witusiewicz V.T., Bondar A.A., Hecht U., Voblikov V.M., Tsyganenko N.I., Fomichov O.S., Karpets M.V., Petyukh V.M., Velikanova T.Y. Experimental study and thermodynamic modelling of the ternary Al Fe Ta system. Journal of Materials Science, 2013, no. 48, pp. 377 412.
- 30. Kitayama K. Experimental study of equilibria of the Ta₂O₅ Fe Fe₂O₃ system at 1200 °C. Journal of Solid State Chemistry, 1986, vol. 64, iss. 2, pp. 162 168.
- 31. Lee M., Koch E.F., Hale T.E. A study of the coating-substrate interface layer of an Al₂O₃-coated cemented carbide cutting tool. International Journal of Refractory Metals and Hard Materials, 1996, no. 14, pp. 335 343.

Статья поступила в редакцию — 10.11.2020 г. после доработки — 25.11.2020 г. принята к публикации — 26.11.2020 г.

Гуляева Роза Иосифовна — Институт металлургии Уральского отделения РАН (г. Екатеринбург, 620016, ул. Амундсена, 101), кандидат химических наук, старший научный сотрудник, специалист в области физической химии металлургических процессов. E-mail: gulroza@mail.ru.

Клюшников Александр Михайлович — Институт металлургии Уральского отделения РАН (г. Екатеринбург, 620016, ул. Амундсена, 101), кандидат технических наук, старший научный сотрудник, специалист в области физической химии металлургических процессов. E-mail: amk8@mail.ru.

Петрова Софья Александровна — Институт металлургии Уральского отделения РАН (г. Екатеринбург, 620016, ул. Амундсена, 101), кандидат физикоматематических наук, старший научный сотрудник, специалист в области рентгеноструктурного анализа. E-mail: danaus@mail.ru.

Удоева Людмила Юрьевна — Институт металлургии Уральского отделения РАН (г. Екатеринбург, 620016, ул. Амундсена, 101), кандидат технических наук, стариий научный сотрудник, специалист в области физической химии металлургических процессов. E-mail: lyuud@yandex.ru.

Kinetics of low-temperature aluminothermic reduction of iron tantalate

R. I. Gulvaeva, A. M. Klyushnikov, S. A. Petrova, L. Yu. Udoeva

The kinetics of low-temperature (900 - 1180 °C) reduction of iron tantalate (98.2 wt % FeTa₂O₆, 1.8 wt % Ta₂O₅, particle size < 0.1 mm) by excess aluminum (particle size < 0.14 mm) at the molar ratio Al:FeTa₂O₆ = 6 was studied. According to differential scanning calorimetry and X-ray powder diffraction, reduction is almost completed at 1180 °C, the metal products are TaFeAl, TaAl₃, and Ta₁₇Al₁₂. Based on the results of thermokinetic calculations (Ozawa – Flynn – Wall and nonlinear regression methods), the formal mechanism of the process is represented by the Bna \rightarrow CnC model, which includes two consecutive steps controlled by autocatalytically activated reactions. Kinetic parameters of the steps are: 1) E_1 = 429 kJ·mol⁻¹, A_1 = 10^{15.3} s⁻¹; 2) E_2 = 176 kJ·mol⁻¹, A_2 = 10^{3.9} s⁻¹ (E_j is the activation energy, A_j is the preexponential factor). Prediction in the Bna \rightarrow CnC model frames indicates the possibility of obtaining a reaction mixture containing \geq 98 mol. % the final formal reduction product, with isothermal exposure in the temperature range of 1040 – 1120 °C during 1.5 – 5 minutes. The proposed model can be used to develop scientific foundations and substantiate technological modes for obtaining tantalum alloys from mineral and technogenic raw materials.

Keywords: iron tantalate, reduction, aluminothermy, thermodynamics, kinetics.

Gulyaeva Roza — Institute of Metallurgy of the Ural branch of the Russian Academy of Sciences (Yekaterinburg, 620016, Amundsen str., 101), PhD (Chem), senior researcher, specialist in the field of physical chemistry of metallurgical processes. E-mail: gulroza@mail.ru.

Klyushnikov Alexander — Institute of Metallurgy of the Ural branch of the Russian Academy of Sciences (Yekaterinburg, 620016, Amundsen str., 101), PhD (Eng), senior researcher, specialist in the field of physical chemistry of metallurgical processes. E-mail: amk8@mail.ru.

Petrova Sofia — Institute of Metallurgy of the Ural branch of the Russian Academy of Sciences (Yekaterinburg, 620016, Amundsen str., 101), PhD (Phys-Math), senior researcher, specialist in the field of X-ray structural analysis. E-mail: danaus@mail.ru.

Udoeva Lyudmila — Institute of Metallurgy of the Ural branch of the Russian Academy of Sciences (Yekaterinburg, 620016, Amundsen str., 101), PhD (Eng), senior researcher, specialist in the field of physical chemistry of metallurgical processes. E-mail: lyuud@yandex.ru.